

マルチスレッドを用いたPaiLispインタプリタの実現と評価

川本 真一 伊藤 貴康

東北大学 情報科学研究科

マルチスレッド機能の使用を前提とした効率の良いPaiLispインタプリタの処理方式として、粒度適応型処理方式を考案し、それを用いてPaiLispインタプリタPaiLisp/MTを試作しその評価を行った。粒度適応型の処理方式では、粒度に合わせてプリエンプティブスケジューリングまたはノンプリエンプティブスケジューリングのどちらかを選択し、またノンプリエンプティブスケジューリングの下で、強制タスク生成法(ETC: Eager Task Creation)または負荷分散法(LBP: Load Based Partitioning)のどちらかを選択し、効率良く実行する。本稿は、粒度適応型処理方式の概要と、それを用いたPaiLisp/MTの実現と評価について述べる。

Multi-threaded Implementation of PaiLisp Interpreter and Its Evaluation

Shin-ichi KAWAMOTO Takayasu ITO

Department of Computer and Mathematical Sciences
Graduate School of Information Sciences
Tohoku University

For efficient implementation of PaiLisp interpreter using multi-thread mechanism, we propose a method of granularity adaptive processing and implemented PaiLisp interpreter PaiLisp/MT using this method. To execute parallel programs effectively, this system will select preemptive scheduling or non-preemptive scheduling and eager task creation(ETC) or load based partitioning(LBP) adapting to granularity of the programs. This paper explains the method of granularity adaptive processing, the design and implementation of PaiLisp/MT with its experimental evaluations.

1 はじめに

PaiLisp は Scheme をベース言語とする共有メモリ型並列 Lisp 言語である¹⁾。並列マシン Alliant FX/80 上でのインタプリタ PaiLisp/FX²⁾が作成され実用に供されているが、スレッド機構を備えた並列 UNIX マシン上でのマルチスレッドを用いた効率の良い PaiLisp インタプリタ PaiLisp/MT を設計、試作し、評価を行ったのでその概要を報告する。

PaiLisp/FX では、PaiLisp プロセスを実行の単位とし、PaiLisp プロセスが停止または終了になるまで実行をし続けるノンプリエンティブスケジューリング方式を取っているため、(1) 粒度の大きいプログラムでは、プロセッサが有効に利用されず効率が悪い。また、並列構文に対して常に PaiLisp プロセスを生成する ETC(Eager Task Creation) 方式を取っているため、(2) 細粒度プログラムでは、多くの PaiLisp プロセスが生成され、生成のオーバーヘッドが蓄積されるため、実行効率が悪い。

Multilisp においても同様な問題があるが、Concert Multilisp や Mul-T では細粒度プログラムに対して負荷分散法 (LBP: Load Based Partitioning) や遅延タスク生成法 (LTC: Lasy Task Creation) で対応している³⁾。

この論文では、マルチスレッド機構を備えた並列 UNIX マシン上での実現を前提として、次のような特徴を有する粒度適応型処理方式を考え、PaiLisp インタプリタ PaiLisp/MT の設計・試作を行った。

粒度適応型処理方式

1) 粗粒度プログラムに対しては、スレッド機構の特徴である高速なコンテキスト切り替え機能を生かし、PaiLisp プロセスを少しずつ平等に実行するプリエンティブスケジューリングによって実行する。2) 中粒度プログラムに対しては、従来通りノンプリエンティブスケジューリングによって実行する。2) 細粒度プログラムに対しては、ノンプリエンティブスケジューリングの下で、システムの負荷によってプロセス生成を行うか否かを決定する負荷分散法 (LBP) を適用する。

すなわち、実行するプログラムの粒度に合わせて、プリエンティブスケジューリングとノンプリエンティブスケジューリングを選択し、ノンプリエンティブスケジューリングの下では、ETC と LBP を使い分ける。

2 PaiLisp とその処理系

2.1 で PaiLisp について述べ、2.2 で PaiLisp/FX の処理方式とその問題点について述べ、2.3 でスレッド機構を用いた粒度適応型の処理方式について説明する。

2.1 PaiLisp

PaiLisp¹⁾は共有メモリアーキテクチャを前提として Scheme に様々な並列構文を導入して設計された並列 Lisp 言語である。PaiLisp の主な並列構文を以下に示す。
(spawn e) e を評価する子プロセスを生成する。

(suspend) 適用したプロセスの実行を停止させる。

(exlambd $(x_1 \dots x_n) e_1 \dots e_m$) 排他的関数クロージャを作る。PaiLisp プロセス間の相互排除に利用される。

(call/cc $proc$) Scheme の継続を並列に拡張した P-continuation を生成し、それを引数として一引数関数 $proc$ の適用を行う。

(par $e_1 \dots e_n$) e_1, \dots, e_n の評価を並列に行う。

(future e) future 値と呼ばれる e の仮の値を即座に返し、 e の値を計算する子プロセスを生成する。

(pcall $f e_1 \dots e_n$) e_1, \dots, e_n の評価を並列に行なった後、関数 f を適用する。

その他 par-and, par-or, pcond 等がある。

2.2 PaiLisp/FX の処理方式

PaiLisp の実用的な処理系として、8 台のプロセッサを持つ共有メモリマシン Alliant FX/80 の Concentric OS 上で動作するインタプリタ PaiLisp/FX²⁾がある。また、PaiLisp のためのオブジェクトシステム PaiObject も設計試作されている⁵⁾。PaiLisp/MT は PaiLisp/FX のプロセス概念及び、仮想マシンをベースとして作成されているので、PaiLisp/FX の処理方式とその問題点について述べる。

PaiLisp/FX

PaiLisp/FX における並列実行の単位である PaiLisp プロセスとは、プロセス ID、実行状態、現在の値、残りの計算、排他資源の占有状況の 5 つの要素より構成される逐次 Lisp オブジェクトである。PaiLisp プロセスは図 1 のように状態遷移する。

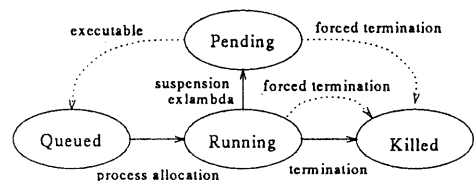


図 1: PaiLisp プロセスの状態遷移

Queued は実行可能であるがまだ実行されていない状態、Running は実行中。Pending は suspend や exlambd 等によって停止した状態。Killed は終了状態である。PaiLisp プロセスは spawn や future などの並列構文によ

て生成される。

PaiLisp プロセスはレジスタマシン⁶⁾(以後 RM と略)と呼ばれる仮想マシン上のインタプリタによって実行される。一つの RM は Concentrix OS の UNIX プロセスとして実現されており、この UNIX プロセスがプロセッサと同数生成されて、それぞれのプロセッサで並列に動作する。RM はすべての RM に共有された FIFO 方式の new キューとその RM に固有の LIFO 方式の resume キューを管理する。PaiLisp/FX の構成を図 2 に示す。

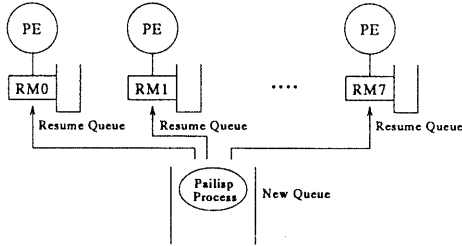


図 2: PaiLisp/FX の構成

新しく生成された PaiLisp プロセスは new キューに入れられ、停止中のプロセスが実行可能になると resume キューに入れられ、それぞれ RM の割り当てを待つ。RM は、1) resume キュー、2) new キュー、の順でプロセスキューを探索し、PaiLisp プロセスが存在したらそれを取って実行する。一端実行を開始すると、それが Pending 又は Killed 状態になるまで実行し続けるノンプリエンティブスケジューリングを採用している。現在実行中の PaiLisp プロセスが Pending 又は Killed 状態になると、先に述べた順でプロセスキューを探索する。PaiLisp/FX における粗粒度プログラムと細粒度プログラムの並列実行を 4 つのプロセッサ (PE) を使用した場合について説明する。

粗粒度プログラムの場合

粗粒度プログラムとして次を考える。

(par (A) (B) (C) (D) (E))

式(A)~(E)は互いに独立で、それぞれ実行時間は t である場合を考える。PaiLisp/FX は PaiLisp プロセスのスケジューリングをノンプリエンティブに行うので、各プロセスは同時に実行され、(E)が1つ実行されて終了する。全体としては $2T$ の実行時間がかかる。(E)が実行されている最中は他の3つのRMは実行すべきプロセスが無く遊んでしまい、プロセッサ資源を有効に活用できない。

細粒度プログラムの場合

細粒度プログラムは PaiLisp の並列構文の適用回数

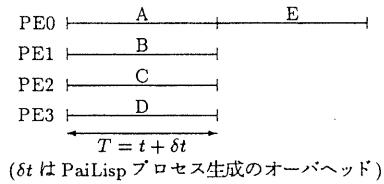


図 3: PaiLisp/FX による粗粒度プログラムの実行

の多いプログラムであるということが出来る。並列構文による PaiLisp プロセスの生成には必ずコストがかかる。PaiLisp/FX では並列構文に対して常に PaiLisp プロセスを生成する ETC(Eager Task Creation) 方式を用いているので、細粒度プログラムの場合は生成される PaiLisp プロセス数が非常に多く、オーバーヘッドが多数積算されて実行効率が悪い。

2.3 スレッド機構を用いた PaiLisp/MT の処理方式

マルチスレッド機構を備えた並列 UNIX マシンの使用を前提として、PaiLisp/FX での問題を解決する一方式として考えられたのが、粒度適応型の処理方式である。

従来の UNIX プロセスのコンテキスト切り替えのコストに比べ、スレッドのコンテキスト切り替えのコストは非常に小さい。このような特徴を持つスレッド機構を用いることを前提とした PaiLisp/MT の粒度適応型処理方式は次のような動作をする。

(1) 粗粒度プログラムに対しては、スレッド機構の特徴である高速なコンテキスト切り替え機能を生かして、PaiLisp プロセスを少しずつ平等に実行するプリエンティブスケジューリングによる実行を行う。先の粗粒度プログラムの例では、(A)~(E)をそれぞれ $T/4$ ずつの部分 $A_1 \sim A_4, \dots, E_1 \sim E_4$ に分け、その部分を図 4 のように公平に実行すると、すべての RM を有効に動作させることができ、処理時間も $5T/4$ と PaiLisp/FX の $2T$ に比べ短い。

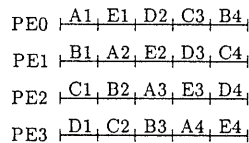


図 4: PaiLisp/MT による粗粒度プログラムの実行

(2) 中粒度プログラムに対しては、PaiLisp/FX が採用していたノンプリエンティブスケジューリングによって実行を行う。

(3) 細粒度プログラムに対しては、スケジューリングは

ノンプリエンティブ方式で行い、システムの負荷によってプロセス生成を行うか否かを決定する負荷分散法 (LBP) を適用する。これにより、PaiLisp プロセスの生成数が減り、従って PaiLisp プロセス生成のオーバーヘッドの積算量が減り、効率的な実行を行うことができる。

スケジューリングを粗粒度の場合とその他の場合で使い分ける理由としては、中粒度から細粒度プログラムでは多くのプロセスが生成されるため、プリエンティブスケジューリングの下では PaiLisp プロセスのコンテキスト切り替えの回数が多い。従って、PaiLisp プロセスのコンテキスト切り替えのオーバーヘッドが積算され、ノンプリエンティブスケジューリングよりもかえって遅くなるからである。また、LBP の適用を細粒度の場合に限るのは、粗粒度から中粒度のプログラムのプロセス生成の抑制は、かえって実行効率を落すためである。

粒度の判定とスケジューリングの切り替え

粒度適応型処理方式での粒度は生成された PaiLisp プロセスの数によって判断する。すなわち、プロセス生成数が少なければ粗粒度、多ければ細粒度、中間なら中粒度であるとする。PaiLisp/MT は、入力されたプログラムをまず粗粒度であると見なしプリエンティブスケジューリングによって実行する。生成された PaiLisp プロセスの数を数えるカウンタ pc を持っており、PaiLisp プロセスが生成されるたびにそれをインクリメントする。 pc の値が閾値 N_1 より大きくなると、スケジューリングをノンプリエンティブ方式に切り替えて実行を続ける。さらに、 pc が閾値 N_2 より大きくなると負荷分散法 (LBP) を適用する。 pc はプログラムの実行が終了した時点で 0 にリセットされる。一端ノンプリエンティブスケジューリングや LBP による実行を始めると、LBP の適用をやめたり、プリエンティブスケジューリングに戻ることはない。

pc の値はプロセス生成と共に徐々に増加するため、中粒度から細粒度プログラムでも pc の値が N_1 以下のときは、プリエンティブに実行される。しかし、生成されるプロセスの数が大きければその影響は少ないものと考えられる。また、LBP の適用についても pc が N_2 以下のときは、ETC によって実行され、その後 LBP が適用される。このようにプログラムの先頭からではなく遅延して LBP を適用する方法を遅延負荷分散法 (DLBP: Delayed Load Based Partitioning) と呼ぶ。後で述べるように、DLBP は LBP よりも優れた性質を持つ。

3 PaiLisp/MT の実現

本章では、まず 3.1 でスレッドによるスケジューリングの実現方法について、3.2 で遅延負荷分散法とその実

現について述べ、3.3 では 2 つのスケジューリングを理論的に解析する。

3.1 スレッドを用いたスケジューリングの実現

仮想マシン RM のスレッドによる実現

スレッド機構は、従来の UNIX のプロセスをその実行環境であるタスクと実行の流れであるスレッドに分割したものであり、スレッドの環境の管理はタスクが行うため、UNIX プロセスに比べて、その生成や切り替えが速いという特徴がある。そこで、PaiLisp/FX では UNIX プロセスとして実現されていた RM をスレッドによって実現し¹、さらにこの高速な切り替え機能を生かして、PaiLisp プロセスのコンテキスト切り替えをスレッドの切り替えによって実現した。PaiLisp/MT のノンプリエンティブスケジューリングは、PaiLisp/FX の UNIX プロセスとして実現されていた RM をスレッドとして実現し、それをプロセッサと同数生成して、各プロセッサ上で実行させることによって実現される。

プリエンティブスケジューリングの実現

プリエンティブスケジューリングは、PaiLisp プロセスのコンテキスト切り替えを行う。切り替えにはその PaiLisp プロセスの実行に関する情報を保存する必要がある。RM は PaiLisp プロセスの実行環境そのものであり、その実行の情報をすべて持っている。そこで、PaiLisp プロセスを直接切り替えるのではなく、それを実行している RM を切り替える方式を採用した。RM はスレッドとして実行されるため、RM のコンテキスト切り替えはスレッドのコンテキスト切り替えとして実現される。あらかじめ生成されるプロセスの数よりも多くの RM スレッドを用意しておく。各 RM スレッドは OS によって少しずつ切り替えられながら PaiLisp プロセスをキューから取り出して実行する。コンテキスト切り替えは OS が自動的に行う。

スケジューリングの切り替えの実現

プリエンティブ方式とノンプリエンティブ方式のシステム上の違いは、RM スレッドの数がプロセッサ数より大きいか同じかということである。従って、プリエンティブからノンプリエンティブへの切り替えは、RM スレッドのうちのいくつかを停止させ、その数をプロセッサ数と同数にすれば良い。ただし、停止させた RM 上でかつて実行され Pending 状態になっていた PaiLisp プロセスの実行が再開される場合に備え、その RM が持つ resume キューにプロセスが入ったと

¹PaiLisp プロセスを 1 つのスレッドによって実行する PaiLisp/LWP の試作も行われているが、PaiLisp プロセスの生成の度にスレッドが生成され、そのオーバーヘッドのためあまり効率が良くない。そこで、今回の試作ではこのような方法を用いた。

きだけは再起動して処理を行う。このような機能を持った RM は次のように実現されている。

```

1: while (1) {
2:   mutex_lock(rqlock);
3:   process = resume_queue_take();
4:   if ( process != Nil ) {
5:     mutex_unlock(rqlock);
6:     resume_proc(process); }
7:   else if ( rm_sleep_flag ) {
8:     condition_wait(sleepcd,rqlock);
9:     mutex_unlock(rqlock); }
10:  else {
11:    process = new_queue_take();
12:    if ( process != Nil ) {
13:      mutex_unlock(rqlock);
14:      new_proc(process); }
15:    else {
16:      condition_wait(sleepcd,rqlock);
17:      mutex_unlock(rqlock); }}

```

RM はまず resume キューを捜し (3 行目)、PaiLisp プロセスが存在すれば実行する (6 行目)。そうでなければ、スケジューリング切り替えのフラグを確認し (7 行目)、そのフラグが立っていれば condition 変数を用いて停止する (8 行目)。そうでなければ new キューを捜し (11 行目)、プロセスが存在すれば実行する (14 行目)。2 つのキューに存在しない場合には実行すべきプロセスが無いので condition 変数を用いて停止する (16 行目)。resume キューや new キューに PaiLisp プロセスが入ると、condition_signal によって RM の実行が再開される。

3.2 遅延負荷分散法 (DLBP) とその実現

負荷分散法を導入する並列構文

LBP は並列構文に対しシステムの負荷によって PaiLisp プロセスを生成しない場合もある。従って、複数のプロセスが副作用によって通信しながら計算を進めていくようなプログラムの場合、プロセス生成が行なわれないとデッドロックに陥る可能性がある。そこで、LBP を導入するのは副作用の使用を前提としない future と pcall について行うのが妥当であると考えられる。このうち今回は future 構文について行った。

LBP の処理方式

LBP の実現は、new キューの中の PaiLisp プロセスの数によって負荷を判定する方法を採用した。つまり、new キューに入っているプロセスの数が閾値 T より大きいとき、(future e) は e をそのまま実行し、それ以下のときは e を計算する PaiLisp プロセスを生成する。プロセス生成を最小限に抑えるため、閾値 T は 0 とした。ただし 2.3 で述べたように、PaiLisp/MT では、

粗粒度や中粒度プログラムに対する LBP の適用を避けるため、生成されたプロセスの数が閾値 N_2 を越えた時点から LBP の適用を始める遅延負荷分散法 (DLBP) を用いる。

遅延負荷分散法 (DLBP) の特徴

DLBP は LBP に比べ、生成されるプロセスの粒度が揃っており、PaiLisp プロセスの生成数が少ないという特徴がある。例えば、図 5 のような 2 進木データを再帰的に並列に処理する場合を考える。

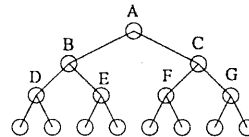


図 5: 二進木

各接点で、future 構文によって右側の枝を計算するプロセスを生成し、親は左側の枝の計算を続ける。LBP の場合は、実行開始時の new は空なので、接点 A ではプロセスが生成される。次に親が B に行って future を実行しようとするが、A で生成された左の枝を計算する PaiLisp プロセスがすでに他の RM によって実行されていれば、B でもプロセスは生成される。しかし、それがまだキューに溜ってれば B でのプロセス生成は起らない。その他のノードも同様である。つまり、LBP ではタイミングによって分割される場所が変わる。DLBP で例えば $N_2 = 3$ のとき、接点 ABC では ETC によって必ずプロセスが生成され、それ以下のノードでは LBP が適用される。2 進木は上位ノードほど処理コストが大きいので、上位ノードをバランス良く分割することが望ましい。この点で、タイミングによらない DLBP は LBP に比べて優れている。また、DLBP は上の方の接点を均等に分割するため処理が均一化され、結果として PaiLisp プロセスの生成数が LBP よりも少ない。

遅延負荷分散法 (DLBP) の実現

future 構文における DLBP は次のように実現される。

```

1: if ( N2 < pc && newq_length != 0 )
2:   go(eval_dispatch);
3: else
4:   go(eager_future);

```

現在までに生成されたプロセスの数 pc が閾値 N_2 より大きく (1 行目)、new キューの中にプロセスが存在すれば、future の引数をそのまま評価するために、PaiLisp の評価ルーチンである eval_dispatch²⁾ に飛び、そうでなければ常にプロセスを生成する従来の future 構文を実現する eager_future ルーチンに飛ぶ。

3.3 スケジューリングの理論的考察

ブリエンプティブ方式とノンブリエンプティブ方式の比較を理論的に行い、スケジューリングの切り替えの閾値の決定法を示す。次のような互いに独立した job_1 から job_n を並列に実行するプログラムを考える。

(par (job_1) (job_2) \dots (job_n)) \dots PRG1

ここでプロセッサ数を N_p 、RM 数を N_r であるとする。またブリエンプティブスケジューリングにおける RM の 1 回の切替にかかるコストを T_o 、一回のスライスの間隔を T_s とする。

job の粒度が揃っている場合

すべての job の実行時間を T であるとする。ノンブリエンプティブ方式による実行時間 T_{nps} は、プロセス数 n が N_p 以下ならば T 、 $N_p < n \leq 2N_p$ なら $2T$ 、 \dots であるから、次のように近似される。

$$T_{nps} \approx \left\lceil \frac{n}{N_p} \right\rceil T$$

次にブリエンプティブの場合を考える。 $1 \leq n \leq N_p$ のとき RM スレッドのコンテキスト切り替えは起らないので、実行時間は T である。 $N_p < n < N_r$ の場合、一回のタイムスライスにおける実行時間はオーバーヘッドを含むため $T_s + T_o$ である。すべてのプロセスのタイムスライス回数の和は $\lceil nT/N_p T_s \rceil$ 。これを N_r 個の RM で実行するため、実行時間 T_{ps} は次のように近似される。

$$T_{ps} \approx \begin{cases} T & (1 \leq n \leq N_p) \\ \lceil \frac{nT}{N_p T_s} \rceil (T_s + T_o) & (N_p < n < N_r) \end{cases}$$

ここで、 T_{ps} を最も小さくするには $T_s = T/N_p$ とすれば良い。つまり、ブリエンプティブスケジューリングの元では見かけの粒度に比べ、実質的な実行時の粒度を T/N_p として実行するとき最も高速に実行される。しかし一般に実行時間 T を予測することは困難であり、また RM の切り替えを OS にまかせるため T_s はある一定の値に決まる。従って、job の実行時間が長くなると切り替えの回数が増えて効率が悪くなる。2つの式 T_{nps} と T_{ps} をグラフにすると図6となる。縦軸は $T = 1$ としたときの実行時間、横軸はプロセス数 n 、 $N_p = 4$ 、 $T_s = T/4 = 1/4$ 、 $T_o = 1/40$ であるとした。実線がノンブリエンプティブ方式、直線がブリエンプティブ方式である。プロセス数が少ないときブリエンプティブ方式のほうが速いが、傾きがノンブリエンプティブより急なためプロセス数が多くなるとかえって遅くなる。従って、スケジューリング切り替えに関し次が導かれる。

<スケジューリング切り替えの閾値の決定法>

ブリエンプティブ方式がノンブリエンプティブ方式に比べて高速なのは生成されるプロセスの数が閾

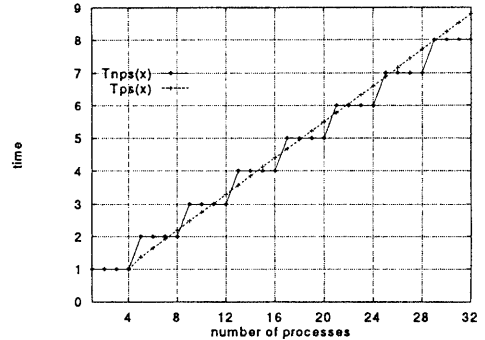


図6: 実行時間の比較 (粒度が揃っている場合)

値 N より小さいときであり、この値は実験結果から図6のような図を書くことによって求められる。実験結果から求めた閾値 N を、スケジューリング切り替えの閾値 N_2 として用いる。

job の粒度が揃っていない場合

job_1 が他に比べて大きい場合、そのグラフは図7のようになる。

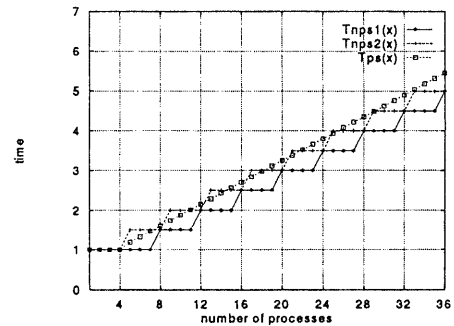


図7: 実行時間の比較 (粒度が揃っていない場合)

ただし縦軸は長い job の実行時間を 1 としたときの実行時間であり、長い job を基準とし、短い job はその $1/2$ 、タイムスライスの間隔はその $1/8$ 、切り替えのオーバーヘッドはその $1/80$ であるとした。ノンブリエンプティブ方式の場合は長い job の実行される場所によって実行時間が変わる。図7の下側の階段状の実線は長い job が先頭で実行された場合であり、上側の階段状の点線は長い job が一番最後に実行された場合である。ブリエンプティブ方式は点線の直線であり長い job の実行場所によって変化しない。このようにプロセスの粒度が揃っていない場合は、ノンブリエンプティブ方式のほうが高速に実行される場合もある。

4 PaiLisp/MT の評価

PaiLisp/MTの実現はOMRON LUNA88kのMACH 2.5上のC-Threadライブラリを用いて行った。3章でも述べた通り、PaiLisp/MTは2つのスケジューリングを閾値 N_1 によって切り替え、DLBPの適用を閾値 N_2 によって制御するので、まずこれらの閾値を予備的な実験によって決定する。4.1ではプリエンブティブ方式とノンプリエンブティブ方式の切り替えの閾値 N_1 を求め、4.2でDLBPの適用開始の閾値 N_2 を定める。そして最後にそれらの値を取り入れたPaiLisp/MTシステムの評価を行う。

4.1 スケジューリング切り替えのための閾値の決定

切り替えの閾値 N_1 を決定するために、プリエンブティブスケジューリングを採用したPaiLisp/MTpと、ノンプリエンブティブスケジューリングを採用したPaiLisp/MTnpを作成し、実行時間の比較を行った。評価には、3章の理論的解析に用いたプログラムPRG1を $job1 = job2 = \dots = jobn$ とし、またjobの数を1個から24個まで変えて実行しその実行時間を計測した。実験結果を横軸をjob(プロセス)の数、縦軸を実行時間とするグラフによって表すと図8となる。

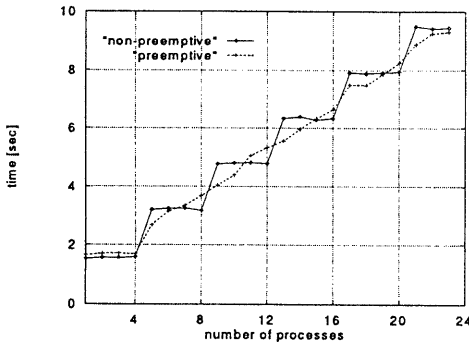


図8: PRG1の実行時間の比較

実線はノンプリエンブティブ方式、点線はプリエンブティブ方式である。PaiLispプロセスの数が n における実行時間 $T(n)$ を区間 $4i \leq n < 4(i+1)$ ($i = 1, 2, \dots$)において平均し、その値の大小関係が逆転する区間 i は4と求まるので、切り替えの閾値 N_1 は16程度ということになる。

4.2 DLBPのための閾値の決定

DLBPが適用されるのはスケジューリングがノンプリエンブティブの場合であるので、4.1節で試作したPaiLisp/MTnpを用い、そのfuture構文にDLBPを導入

して実験を行った。細粒度プログラムとしてはフィボナッチ20を並列に計算するfibを、中粒度プログラムとしては並列化クイックソートqsortを用いた。それぞれ、ETCによる実行では10945個と485個のPaiLispプロセスが生成される。実験結果を表1に示す。

表1: DLBPの閾値決定のための実験結果

閾値 (N_2)	fib	qsort
16	1.71(101)	2.40(116)
100	1.72(110)	2.41(156)
500	1.79(528)	2.34(485)

各欄の数字は実行時間[sec]であり、カッコ内は生成されたPaiLispプロセスの数である。細粒度プログラムはPaiLispプロセスの生成をなるべく抑えるため、閾値は小さいほうが良い。この傾向はfibの結果に現れている。一方中粒度プログラムはなるべくプロセス生成を抑えたくないので、閾値は大きいほうが良い。この傾向はqsortにあらわれている。結局この相反する2つの条件の中間を取って、その閾値 N_2 を100と決定した。

4.3 PaiLisp/MTの評価

先の実験結果より、スケジューリングの切り替えの閾値を16、DLBP適用開始の閾値を100として、PaiLisp/MTを実現した。PaiLisp/FX方式のPaiLispインタプリタをOMRON LUNA88k上で実現し、それとPaiLisp/MTとの比較を行った。3章で述べたプログラムPRG1を使って粗粒度から中粒度にかけての実行時間を計測し、それをグラフにした(図9)。

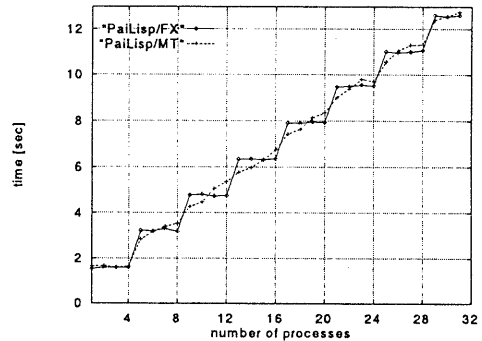


図9: PaiLisp/MTの評価1

ただし、縦軸は実行時間[sec]、横軸はPaiLispプロセス数である。実線はPaiLisp/FX方式、点線がPaiLisp/MTを表している。プロセス数が16以下の時は、PaiLisp/MTの平均実行時間がPaiLisp/FX方式の平均実行時間よりも短く、効率的な実行になっているとい

える。ただし、PaiLisp プロセス数が 16 から 28 付近の間では PaiLisp/FX 方式のほうが速い。これは PaiLisp/MT がはじめの 16 個のプロセスをプリエンブティブに実行し、その後残りのプロセスをノンプリエンブティブに実行するためである。しかしプロセス数が増えるにつれてその影響は少なくなっていく。

次に、中粒度から細粒度プログラムの実行時間を比較する。評価プログラムは 4.2 で使用した fib と qsort の他、8 クイーン問題を並列に解く queen、future によるストリームを用いて並列に素数を求める prime の 4 つを使用した。プロセッサは 4 台を使用した。実行結果を表 2 に示す。

表 2: PaiLisp/MT の評価 2

	fib	queen	qsort	prime
逐次	6.31	21.40	7.24	12.53
PN	0	0	0	0
PaiLisp/FX 方式	3.28	6.54	2.33	3.86
PN	10945	5508	485	2498
PaiLisp/MT	1.72	5.86	2.41	3.88
PN	110	178	156	2499

各項目の上段は実行時間 [sec]、下段は生成される PaiLisp プロセスの数である。細粒度プログラムの fib や queen は、DLBP を採用した PaiLisp/MT が速い。特に fib は粒度が細かいためその効果が大きく、約 2 倍の高速化を達成している。同じ細粒度プログラムでも prime は実行時間、プロセス生成数ともに PaiLisp/FX 方式との差がないが、これは生成された PaiLisp プロセスが実行されたときのみまた PaiLisp プロセスが生成されるプログラムであり、future 実行時は常に new キューが空なので DLBP の効果が現れない。このような場合でも PaiLisp/MT は PaiLisp/FX 方式より遅くなることはない。中粒度プログラムの qsort の場合は、PaiLisp プロセスの生成が抑制されるので、PaiLisp/MT のほうが遅くなってしまふ。

以上の結果から、プロセス数が 16 よりも小さい粗粒度プログラムとプロセス数が 1000 を越えるような細粒度プログラムの場合、概ね PaiLisp/MT は PaiLisp/FX 方式に比べて効率的に実行できるが、中粒度プロセスの場合は逆に多少遅くなる結果となった。

5 おわりに

PaiLisp/MT の処理方式と、マルチスレッド機構を用いた実現及び評価について述べた。粗粒度プログラムのプリエンブティブスケジューリングによる実行は、ノンプリエンブティブスケジューリングに比べて、プロセ

スの粒度が揃っている場合は良い結果を得ることができるとは、そうでない場合には返って遅くなることを示した。今後、優先度などをを用いることによってこれに対処することが課題である。

細粒度プログラムに対しては、LBP を修正した DLBP によって ETC よりも効率良く実行できることを示した。ただし、LBP にはデッドロックの可能性があるため、今後 LBP よりもさらに効率的でデッドロックフリーの LTC の導入について検討したい。

PaiLisp/MT の実現には MACH の C-Thread を用い、プリエンブティブスケジューリングのプロセス切り替えをスレッドの切り替えによって実現した。この方法はコンテキスト切り替えのメカニズムを OS 側にまかせるため実現が非常に容易であり、また性能もそれほど悪くない。ただし現在はプロセッサ数が 4 台であり、それに対してプリエンブティブスケジューリングが適用できる範囲は 16 個程度となったが、プロセッサ数がこれより増えた場合には、より切り替えのオーバーヘッドが小さな機構を使用しないと効率的なプリエンブティブスケジューリングを実現できない。今後 SUN の LWP や OSF/1 の P-Thread による実現を試みたい。

参考文献

- 1) Takayasu ITO Manabu MATSUI. A parallel lisp language PaiLisp and its kernel specification. In *Parallel Lisp: Languages and Systems US/Japan Workshop on Parallel Lisp*, number 441 in LNCS. Springer-Verlag, 1989.
- 2) 清野 智弘 伊藤 貴康. Pailisp の並列構文の実現法と評価. *情報処理学会論文誌*, 34(12), 1993.
- 3) Eric Mohr David A. Kranz and Robert H. Halsted Jr. Lazy task creation: A technique for increasing the granularity of parallel programs. Number Vol 2, No. 3 in IEEE TRAN. *Parallel and Distributed systems*, July 1991.
- 4) Suresh Jagannathan Jim Philbin. A foundation for an efficient multi-threaded scheme system. *ACM lisp and functional programming*, 6, 1992.
- 5) 田村 清朗 伊藤 貴康. Pailisp と PaiObject の処理系. *情報処理学会記号処理研究会*, 93-SYM-70, 1993.
- 6) Harold Abelson Gerald Jay Sussman with Julie Sussman. *Structure and Interpretation of Computer Programs*. The MIT Press, 1985.